

УДК 621.438.001 2 (02)

**Н.Ф. МУСАТКИН, В.М. РАДЬКО, А.Д. БАЛАХОНОВ**

*Самарский государственный аэрокосмический университет им. академика С.П. Королёва, Российская Федерация*

## **ОПРЕДЕЛЕНИЕ ГЕОМЕТРИЧЕСКИХ ПАРАМЕТРОВ РАБОЧИХ КОЛЕС АКТИВНЫХ ЦЕНТРОСТРЕМИТЕЛЬНЫХ МИКРОТУРБИН**

Приведена методика определения геометрических параметров профилей лопаток рабочих колес на основании результатов газодинамического расчета ступени активной центростремительной микротурбины.

**центростремительная микротурбина, рабочее колесо, решетка, контур, спинка, корытце, кромка, угол заострения, конструктивный угол, кинематический угол потока, число Маха, число Рейнольдса**

### **Введение**

Стремление к автоматизации процесса газодинамического проектирования центростремительных микротурбин (ЦСМТ) предполагает наличие геометрических моделей соплового аппарата (СА) [1] и рабочего колеса (РК).

### **1. Формулирование проблемы**

Построение геометрии лопаточных венцов РК во многом зависит от принятой схемы формирования контуров спинки и корытца профилей лопаток, что обусловлено невозможностью обеспечения постоянства ширины  $a_j$  межлопаточных каналов по высоте лопатки вследствие естественной веерности. С другой стороны, в решетках РК кинематические углы потока  $\beta_1$  на входе и  $\beta_2$  на выходе примерно одинаковы, поскольку степень реактивности для ступеней ЦСМТ, как правило, близка к нулю.

По этой причине широко известные и хорошо зарекомендовавшие себя способы доминирующей кривизны [2] или "гиперболических спиралей" [3] – непригодны для случая построения контуров спинки и корытца РК ЦСМТ.

Тем не менее, необходимость полной автоматизации процесса газодинамического проектирования ЦСМТ в целом требует создания других способов формирования контуров спинки и корытца, аналогичных приведенным в работе [3].

### **2. Решение проблемы. Определение конструктивно-геометрических параметров РК ЦСМТ**

В данной статье описана геометрическая модель рабочего колеса, построенная по принципу соединения входных и выходных кромок профилей лопаток окружностями, исключающая коррекцию исходных данных и позволяющая решить поставленную задачу.

По результатам газодинамического расчета считаются известными следующие геометрические характеристики РК:

1. Диаметр на входе в рабочее колесо  $D_1 = 2 \cdot R_1$ ;
2. Диаметр на выходе из рабочего колеса  $D_2 = 2 \cdot R_2$ ;
3. Угловой шаг решетки лопаток  $\Theta$ ;
4. Конструктивный угол на входе в РК  $\beta_{1л}$ ;
5. Конструктивный угол на выходе из РК  $\beta_{2л}$ ;
6. Минимальное расстояние между соседними лопатками – «горло» межлопаточных каналов  $a_f$ ;
7. Радиусы скругления входной и выходной кромок лопаток РК  $r_1$  и  $r_2$ ;
8. Углы заострения входной и выходной кромок  $\gamma_{вх}$  и  $\gamma_{вых}$ .

Обозначения указанных геометрических величин приведены на рис. 1.

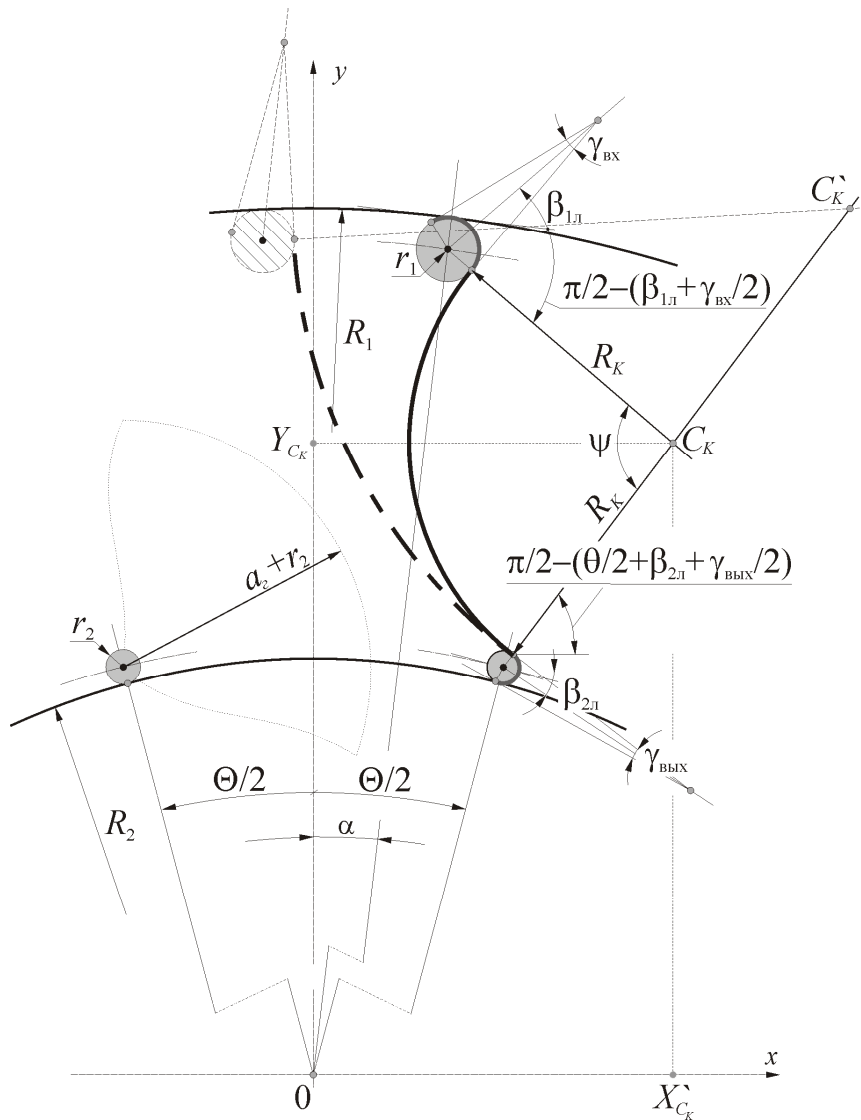


Рис. 1. Построение корытца лопатки РК ЦСМТ

### 2.1. Определение конструктивно-геометрических параметров корытца лопатки РК ЦСМТ

В предложенной работе последовательность формирования контура профиля лопатки начинается с корытца.

Предварительно величину  $a_r$  следует сравнить с минимальным сечением  $a_{r \min}$ , определяемым технологическими ограничениями при фрезеровании каналов. В случае превышения последнего за исходное значение  $a_r$  принимается  $a_{r \min}$ , а необходимый расход рабочего тела обеспечивается увеличением высоты лопаток.

Для полного описания геометрии корытца лопатки РК требуется знание величин  $R_K$  и  $\alpha$ .

По условию выходная кромка строго определена углом  $\Theta$ , а угол  $\alpha$  задает положение входной кромки относительно выходной совместно с искомым радиусом корытца  $R_K$ .

В принятой системе координат  $XOY$  положение точки  $C_K$  определяется ординатой  $Y_{C_K}$  и абсциссой  $X_{C_K}$  (рис. 1). Последняя, представленная через параметры входной кромки, имеет вид

$$X_{C_K} = (R_1 - r_1) \cdot \sin(\alpha) + (R_K + r_1) \times \cos\left(\alpha + 90^\circ - \beta_{1л} - \gamma_{вх}/2\right), \quad (1)$$

или через параметры выходной кромки –

$$X_{C_K} = (R_2 + r_2) \cdot \sin(\Theta/2) + (R_K + r_2) \times \sin(\beta_{2л} + \gamma_{вых}/2 + \Theta/2). \quad (2)$$

Аналогично для координаты  $Y_{C_K}$  получаем:

$$Y_{C_K} = (R_1 - r_1) \cdot \cos(\alpha) - (R_K + r_1) \times \cos(\alpha + 90^\circ - \beta_{1л} - \gamma_{вх}/2), \quad (3)$$

или через параметры выходной кромки –

$$Y_{C_K} = (R_2 + r_2) \cdot \cos(\Theta/2) + (R_K + r_2) \times \sin(\beta_{2л} + \gamma_{вых}/2 + \Theta/2). \quad (4)$$

Приравнивая одноименные координаты, получим систему уравнений, решение которой относительно величины  $\alpha$  имеет вид:

$$\alpha = \arcsin\left(\frac{-R \pm \sqrt{R^2 + S \cdot T}}{S}\right), \quad (5)$$

где  $R = N \cdot Q$ ;  $S = P^2 + Q^2$ ;  $T = P^2 - N^2$ ;

$$N = D \cos(\phi) + B \sin(\zeta) - A \cos(\zeta);$$

$$Q = A \cos(\phi) - r_1 \cdot \cos(\phi) \sin(\zeta) - B \sin(\phi) - D \cos(\zeta) + r_1 \cdot \sin(\phi) \cos(\zeta);$$

$$P = A \sin(\phi) - r_1 \cdot \sin(\phi) \sin(\zeta) + B \cos(\phi) + D \sin(\zeta) - r_1 \cdot \cos(\phi) \cos(\zeta);$$

$$D = R_1 - r_1;$$

$$A = (R_2 + r_2) \sin(\Theta/2) + r_2 \sin(\beta_{2л} + \gamma_{вых}/2 + \Theta/2);$$

$$B = (R_2 + r_2) \cos(\Theta/2) + r_2 \cos(\beta_{2л} + \gamma_{вых}/2 + \Theta/2);$$

$$\phi = 90^\circ - \beta_{1л} - \gamma_{вх}/2;$$

$$\zeta = \beta_{2л} + \gamma_{вых}/2 + \Theta/2.$$

В общем случае решением уравнения (5) может быть множество сочетаний положительных, отрицательных и мнимых пар корней – значений  $\alpha$ . Физический же смысл имеет лишь действительная величина угла  $\alpha$ , которая в выражении (6) определяет положительное значение радиуса корытца.

$$R_K = \frac{D \sin(\alpha) + r_1 \cos(\alpha + \phi) - A}{\sin(\zeta) - \cos(\alpha + \phi)}. \quad (6)$$

Положение входной кромки при произвольном  $\beta_{1л}$  и неизменных остальных исходных данных показаны пунктирной линией на рис. 1. В случае отрицательных углов  $\alpha$  центр окружности, описывающей входную кромку, располагается под углом  $|\alpha|$  к оси  $OY$  по левую сторону от нее.

Центральный угол, вырезающий дугу корытца профиля лопатки, равен

$$\psi = \pi - \Theta/2 + \alpha - (\beta_{1л} + \beta_{2л}) - (\gamma_{вх} + \gamma_{вых})/2.$$

## 2.2. Определение конструктивно-геометрических параметров спинки лопатки РК ЦСМТ

Для описания геометрии спинки лопатки РК требуется определить неизвестные величины угла  $\chi$ , отрезка  $y$ , а также радиусов окружностей  $R_C$  и  $R'_C$  (рис. 2). На этом этапе расчета положение обеих кромок лопатки принимается фиксированным.

Соединение входной и выходной кромок в общем случае одной окружностью практически невозможно, так как радиусы касательных дуг окружностей к ним различны. Для плавного сопряжения контуров спинки и кромок профиля необходимо дополнительно задать отрезок  $y$  (см. пунктирную линию спинки на рис. 2). Обеспечение требуемой величины  $a_r$  вызывает необходимость введения еще одной окружности. Таким образом, спинка профиля представляет собой сложную кривую, состоящую из двух окружностей радиусами  $R_C$  и  $R'_C$ , и отрезка  $y$ .

В системе координат  $XOY$  по аналогии с выражениями (1) – (4) для определения угла  $\chi$  и радиуса окружности  $R_C$  выразим координаты точки  $C_C$  через параметры входной и выходной кромок, а для нахождения величины радиуса  $R'_C$  и отрезка  $y$  – координаты точки  $C'_C$ .

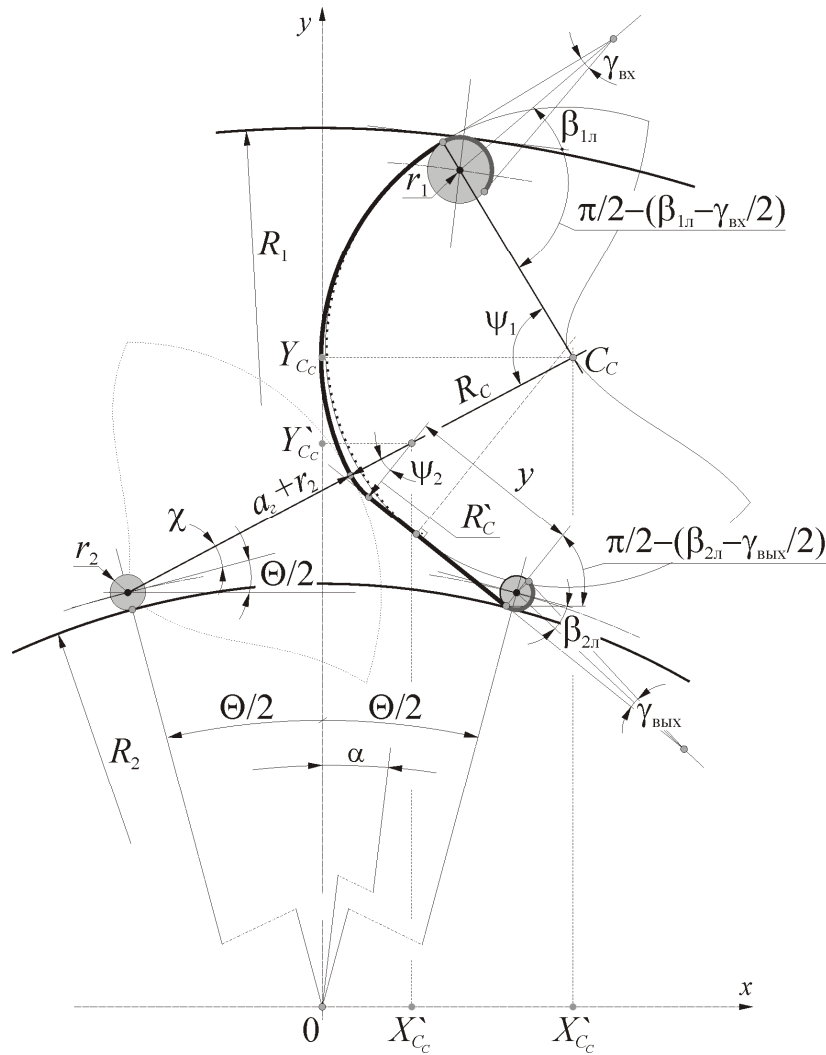


Рис. 2. Построение спинки лопатки РК ЦСМТ

Абсцисса точки  $C_C$  имеет вид:

$$X_{C_C} = (R_1 - r_1) \cdot \sin(\alpha) + (R_c - r_1) \times \cos(\alpha + 90^\circ - \beta_{1л} + \gamma_{вх}/2); \quad (7)$$

$$X_{C_C} = (a_r + R_2 + r_2) \cdot \cos(\chi + \Theta/2) - (R_2 + r_2) \cdot \sin(\Theta/2); \quad (8)$$

Соответствующая ордината:

$$Y_{C_C} = (R_1 - r_1) \cdot \cos(\alpha) - (R_c - r_1) \times \sin(\alpha + 90^\circ - \beta_{1л} + \gamma_{вх}/2); \quad (9)$$

$$Y_{C_C} = (a_r + R_c + r_2) \cdot \sin(\chi + \Theta/2) + (R_2 + r_2) \cdot \cos(\Theta/2). \quad (10)$$

Приравнявая одноименные координаты, получим следующие уравнения:

$$G + R_c \sin(\kappa) = (J + R_c) \cos(\chi + \Theta/2) - E; \quad (11)$$

$$H - R_c \cos(\kappa) = (J + R_c) \sin(\chi + \Theta/2) + F, \quad (12)$$

$$\text{где } G = (R_1 - r_1) \sin(\alpha) - r_1 \sin(\kappa);$$

$$J = a_r + r_2;$$

$$H = (R_1 - r_1) \cos(\alpha) + r_1 \cos(\kappa);$$

$$E = (R_2 + r_2) \sin(\Theta/2);$$

$$F = (R_2 + r_2) \cos(\Theta/2);$$

$$\kappa = \beta_{1л} - \gamma_{вх}/2 - \alpha.$$

Решая систему уравнений (11) – (12), приходим к выражению

$$\chi = \arcsin\left(\frac{-U \pm \sqrt{U^2 + V \cdot W}}{V}\right), \quad (13)$$

где

$$U = M \cdot I; V = I^2 + L^2; W = L^2 - M^2;$$

$$M = F \sin(\kappa) - H \sin(\kappa) - (G + E) \cos(\kappa);$$

$$I = H \sin(\Theta/2) + (G + E) \cos(\Theta/2) + \\ + J \sin(\Theta/2) \cos(\kappa) - J \cos(\Theta/2) \sin(\kappa) - \\ - F \cdot \sin(\Theta/2);$$

$$L = F \cos(\Theta/2) + (G + E) \sin(\Theta/2) - \\ - J \cdot \cos(\Theta/2) \cos(\kappa) - J \sin(\Theta/2) \sin(\kappa) - \\ - H \cdot \cos(\Theta/2).$$

Положительное значение радиуса передней части спинки  $R_C$  определяет действительное значение угла  $\chi$ .

$$R_C = \frac{J \cdot \cos(\chi + \Theta/2) - E - G}{\sin(\kappa) - \cos(\chi + \Theta/2)}. \quad (14)$$

Положение точки  $C'_c$  определяется координатами:

$$X_{C'_c} = (R'_C + J) \cdot \cos(\chi + \Theta/2) - E, \quad (15)$$

или

$$X_{C'_c} = E + (R'_C - r_2) \cdot \sin(\beta_{2л} - \gamma_{вых}/2) - \\ - y \cos(\beta_{2л} - \gamma_{вых}/2), \quad (16)$$

а также

$$Y_{C'_c} = (R'_C + J) \cdot \sin(\chi + \Theta/2) + F, \quad (17)$$

или

$$Y_{C'_c} = F + (R'_C - r_2) \cdot \cos(\beta_{2л} - \gamma_{вых}/2) + \\ + y \sin(\beta_{2л} - \gamma_{вых}/2). \quad (18)$$

Решая совместно уравнения (15), (17) и (16), (18), получаем

$$R'_C = \frac{C \operatorname{tg}(\varpi) + Z}{\cos(\varpi) + \sin(\varpi) \operatorname{tg}(\varpi) - \sin(\xi) - \cos(\xi) \operatorname{tg}(\varpi)}, \quad (19)$$

$$\text{где } C = J \cdot \cos(\beta_{2л} - \gamma_{вых}/2) - 2E +$$

$$+ r_2 \sin(\beta_{2л} - \gamma_{вых}/2);$$

$$Z = J \sin(\beta_{2л} - \gamma_{вых}/2) +$$

$$+ r_2 \cos(\beta_{2л} - \gamma_{вых}/2);$$

$$\varpi = \beta_{2л} - \gamma_{вых}/2;$$

$$\xi = \chi + \Theta/2.$$

Длина отрезка  $y$  определится по формуле:

$$y = \frac{R'_C [\sin(\varpi) - \cos(\xi)] - C}{\cos(\varpi)}.$$

Все величины радиусов и отрезка  $y$  по смыслу задачи должны иметь положительные значения.

Центральные углы, описывающие входную и промежуточную дуги спинки профиля лопатки, равны соответственно:

$$\psi_1 = \pi/2 + \Theta/2 + \alpha - \beta_{1л} + \chi + \gamma_{вых}/2;$$

$$\psi_2 = \pi/2 - \Theta - \beta_{2л} - \chi + \gamma_{вых}/2.$$

## Заключение

Таким образом, определены конструктивно-геометрические параметры, необходимые для построения профилей лопаток РК ступени ЦСМТ.

Данная методика была апробирована при проектировании РК ЦСМТ в программном комплексе "MathCAD" в диапазонах чисел  $M_{w_{2с}} = 0,8 \dots 1,6$  и  $Re = (2 \dots 5) \cdot 10^5$ . При этом в процессе автоматизированного проектирования сбоя в выполнении программы не наблюдалось.

## Литература

1. Мусаткин Н.Ф., Радько В.М., Балахов А.Д. Определение геометрических параметров соплового аппарата центростремительной микро-турбины, состоящего из прямолинейных лопаток // Вестник СГАУ. – Самара: СТАУ. – 2003. – № 1. – С. 106 – 110.
2. Мамаев Б.И., Рябов Е.К. Построение решеток турбинных профилей методом доминирующей кривизны // Теплоэнергетика. – 1979. – № 2. – С. 52 – 55.
3. Аронов Б.М., Жуковский М.И., Журавлёв В.А. Профилирование лопаток авиационных газовых турбин. – М.: Машиностроение, 1978. – 168 с.

Поступила в редакцию 28.05.2004

**Рецензент:** д-р техн. наук Ю.И. Климнюк, ОКБ СНТК им. Н.Д. Кузнецова, Самара.